

# ВЕРХНЕЕ КРИТИЧЕСКОЕ ПОЛЕ $H_{c2}$ В АНИЗОТРОПНЫХ СВЕРХПРОВОДНИКАХ С ПЕРЕМЕННОЙ ПЛОТНОСТЬЮ НОСИТЕЛЕЙ ЗАРЯДА. ПРИМЕНЕНИЕ ТЕОРИИ К ДОПИРОВАННОМУ $MgB_2$

*M. E. Палистрант\*, И. Д. Чеботарь, В. А. Урсу*

*Институт прикладной физики академии наук Молдовы  
2028, Кишинев, Молдова*

Поступила в редакцию 28 января 2009 г.

Построена теория магнитных свойств двухзонного сверхпроводника с переменной плотностью носителей заряда. Определено верхнее критическое поле  $H_{c2}^{(ab)}$ , параллельное плоскости  $ab$ , и  $H_{c2}^{(c)}$ , параллельное оси  $c$  во всем температурном интервале  $0 < T < T_c$ . Выявлено значительное увеличение верхнего критического поля  $H_{c2}^{(ab)}$  по сравнению с  $H_{c2}^{(c)}$  из-за сильной анизотропии системы. Получена также анизотропия коэффициента  $\gamma_H = H_{c2}^{(ab)}/H_{c2}^{(c)}$  как функция температуры для случая чистого  $MgB_2$ , а также химического потенциала при замещении атомов Mg и В другими химическими элементами. Обнаружена корреляция между изменением температуры сверхпроводящего перехода с ростом химического потенциала и магнитными критическими полями  $H_{c2}^{(ab)}$  и  $H_{c2}^{(c)}$ . Определено также влияние додирования на магнитную анизотропию.

PACS: 74.25.Na

## 1. ВВЕДЕНИЕ

Последние годы интенсивно ведутся исследования (теоретические и экспериментальные) различных физических свойств многозонных сверхпроводников, обладающих сильной анизотропией. Ярким примером такого сверхпроводника является дибординг магния ( $MgB_2$ ). Сверхпроводимость в этом соединении была открыта в 2001 г. группой японских ученых [1] ( $T_c \sim 40$  К). Это открытие вызывало большой интерес, главным образом, благодаря обнаружению высоких значений сверхпроводящих характеристик в этом соединении при его достаточно простой кристаллической структуре.

Дальнейшие исследования показали, что сверхпроводящие свойства  $MgB_2$  невозможно описать, используя известную теорию сверхпроводимости БКШ — Боголюбова–Элиашберга, предназначенную для объяснения сверхпроводящих свойств изотропных систем. Соединение  $MgB_2$  является многозонным сверхпроводником. Перекрытие на

поверхности Ферми энергетических полос приводит к большому количеству аномалий термодинамических и кинетических свойств этого соединения по сравнению с однозонными системами.

В  $MgB_2$  имеются две энергетические щели  $\Delta_1$  и  $\Delta_2$  при фононном механизме сверхпроводимости, при этом выполняются соотношения  $2\Delta_1/T_c > 3.5$  и  $2\Delta_2/T_c < 3.5$ , а также наблюдается малое значение относительного скачка электронной теплоемкости в точке  $T = T_c$  (меньше значения 1.43, присущего однозонным сверхпроводникам, в двухзонном  $MgB_2$  этот скачок равен 0.8), положительная кривизна верхнего критического поля  $H_{c2}$  вблизи температуры сверхпроводящего перехода, нарушение теоремы Андерсона при наличии немагнитной примеси и др. Эти и многие другие результаты являются классическими для двухзонной модели [2–4]. В ряде работ (например, [5, 6]), рекомендуется применять модель Москаленко [7] с перекрывающимися энергетическими полосами на поверхности Ферми (см. также работу [8], которая была предложена независимо) для описания сверхпроводящих свойств двухзон-

\*E-mail: mepalistrant@yandex.ru

ных систем. Эта модель [7, 8] оказалась очень удачной для объяснения поведения физических свойств  $MgB_2$  и продемонстрировала хорошее согласие двухзонной теории с экспериментальными данными. В качестве примера можно привести недавние работы авторов [9, 10], в которых ярко демонстрируется поведение термодинамических величин при допировании  $MgB_2$  различными химическими элементами, способствующими введению электронов или дырок в рассматриваемую систему. В этих работах в основу исследований положены два механизма — эффект заполнения энергетических зон электронами и рассеяние электронов на примеси.

В соответствии с зонной структурой [11],  $MgB_2$  может быть представлен на поверхности Ферми двумя энергетическими зонами разной размерности: двумерной зоной  $\sigma$  и трехмерной зоной  $\pi$ . В дальнейшем мы будем называть эти зоны соответственно 1 и 2.

Описанная выше анизотропия проявляется в поведении ряда магнитных характеристик. Многочисленные экспериментальные исследования магнитных свойств  $MgB_2$  показывают наличие анизотропии верхнего критического поля  $H_{c2}$  (см., например, [12–15]). Верхнее критическое поле  $H_{c2}^{(ab)}$ , которое соответствует магнитному полю в плоскости  $ab$ , превышает в несколько раз значение  $H_{c2}^{(c)}$ , которое отвечает критическому магнитному полю параллельному оси  $c$ .

Отметим, что верхнее критическое поле  $H_{c2}$  на основе микроскопической теории сверхпроводимости для чистого однозонного сверхпроводника было рассчитано Горьковым [16] при температурах близких к  $T_c$ . В дальнейшем эта теория была обобщена Маки и Цудзуки для однозонных систем на весь температурный интервал  $0 < T < T_c$  [17].

Развитие двухзонной сверхпроводимости (после публикации работ [7, 8]) содержало в себе также и необходимость построения микроскопической теории для верхнего критического поля  $H_{c2}$  чистого двухзонного сверхпроводника. Такая теория впервые была предложена Палистрант и Дедю [18] задолго до открытия сверхпроводимости в  $MgB_2$ .

Результаты этой работы показали, что учет лишь одного типа анизотропии (перекрытие двух энергетических зон на поверхности Ферми) приводит к качественно новому результату: возникновению положительной кривизны в зависимости  $H_{c2}$  от температуры [4, 18]. Этот результат возникает благодаря различию средних скоростей электронов на различных полостях поверхности Ферми рассматриваемых сферических зон.

Таким образом, наличие анизотропии в системе требует построения новой теории, в частности, для магнитных свойств интерметаллического соединения  $MgB_2$ .

В литературе имеются две теоретические работы, описывающие  $H_{c2}$  двухзонного чистого сверхпроводника с анизотропными свойствами присущими  $MgB_2$ .

Это работы [19] и [20]. В каждой из этих работ используется свой подход и своя методика. Так, для определения  $H_{c2}$  в работе [19] используется многозонная формулировка квазиклассической теории Эленбергера [21]. Благодаря сильной анизотропии возникает существенное отличие  $H_{c2}^{(ab)}$  от  $H_{c2}^{(c)}$  и возможность получить для чистого вещества  $MgB_2$  результаты близкие к экспериментальным. Авторы работы [20] показывают, что  $H_{c2}^{(ab)}/H_{c2}^{(c)}$  растет с убытлем температуры.

Данная работа построена на классической теории сверхпроводимости анизотропной двухзонной системы. При этом развит подход, который позволяет учитывать изменение плотности носителей заряда. Имеются также работы, посвященные «грязным» системам, — мы их не рассматриваем.

Цель работы — построить микроскопическую теорию верхнего критического поля  $H_{c2}$  двухзонного сверхпроводника, справедливую в температурном интервале  $0 < T < T_c$ , и применить ее для описания температурной зависимости  $H_{c2}^{(ab)}$  и  $H_{c2}^{(c)}$  в  $MgB_2$ , а также определить коэффициент анизотропии  $\gamma_H = H_{c2}^{(ab)}/H_{c2}^{(c)}$  как функцию температуры для соединения  $MgB_2$ , в котором плотность носителей заряда не является постоянной величиной.

Таким образом, мы рассматриваем систему, в которой возможно замещение атомов Mg и B другими химическими элементами, что позволяет увеличивать или уменьшать количество свободных электронов или дырок в системе. Фактически будет исследоваться влияние механизма заполнения энергетических зон на величины  $H_{c2}^{(ab)}$  и  $H_{c2}^{(c)}$ .

Работа построена следующим образом.

В разд. 2 рассматривается случай  $\mathbf{H} \parallel ab$ , приводится уравнение Гинзбурга–Ландау для двухзонной системы с энергетическими зонами разной размерности и выполняется ряд операций для упрощения задачи. Приведен также способ обрезания интегралов по энергии в соответствии с переменной плотностью носителей заряда и электрон–фононным механизмом сверхпроводимости в  $MgB_2$ .

В разд. 3 получены уравнения для определения температуры сверхпроводящего перехода  $T_c$  и критического магнитного поля  $H_{c2}^{(ab)}$ . Эти уравнения до-

полняются соотношением для определения химического потенциала. Получены асимптотические выражения для функций, входящих в уравнение для  $H_{c2}^{(ab)}$  в области температур близких к нулю и вблизи температуры сверхпроводящего перехода, выведены уравнения для величины  $H_{c2}^{(ab)}$  и найдены их аналитические решения в указанных выше температурных областях.

Исследования выполнены на основании методики Маки и Цудзуки [16, 17], обобщенной на случай анизотропной двухзонной системы типа MgB<sub>2</sub> с переменной плотностью носителей заряда. Такой подход позволяет проследить влияние замещения атомов Mg и B другими химическими элементами периодической системы.

Наряду с этим, в разд. 4 приведены результаты для  $H_{c2}^{(c)}$  — критического поля, направленного вдоль оси  $z$ . Аналитические формулы, определяющие  $H_{c2}^{(c)}$  так же, как для  $H_{c2}^{(ab)}$ , приведены для области низких температур ( $T \ll T_c$ ) и вблизи критической температуры для двухзонной додированной системы.

В разд. 5 приводятся численные решения и проводится анализ результатов зависимости величин  $H_{c2}^{(ab)}$  и  $H_{c2}^{(c)}$  от температуры и переменной концентрации носителей заряда, обязанной введению в MgB<sub>2</sub> примеси замещения различной валентности. Исследуется температурная анизотропия, а также анизотропия, связанная с изменением химического потенциала.

## 2. СИСТЕМА УРАВНЕНИЙ ДЛЯ ПАРАМЕТРОВ ПОРЯДКА $\Delta_m^*(\mathbf{r})$ В МАГНИТНОМ ПОЛЕ $\mathbf{H}$ , НАПРАВЛЕННОМ ПАРАЛЛЕЛЬНО ПЛОСКОСТИ $ab$

Теория строится на основе классических принципов свойств сверхпроводников второго рода в магнитном поле [16, 17, 22]. Рассмотрим внешнее магнитное поле  $\mathbf{H}$ , параллельное оси  $y$  на плоскости  $ab$ . В этом случае для компонент векторного потенциала получаем

$$A_x = -\frac{H_0}{2}(x + x'), \quad A_y = A_z = 0.$$

В области значений  $\mathbf{H} \rightarrow \mathbf{H}_0 = \mathbf{H}_{c2}$  параметр порядка  $\Delta_m \rightarrow 0$  и можно ограничиться уравнением линейным по величине  $\Delta_m^*$ . В случае двухзонной системы уравнение Гинзбурга–Ландау можно представить в виде результата работы [22]

$$\Delta_m^*(\mathbf{r}) = \sum_n V_{mn} \frac{1}{\beta} \sum_\omega \int d\mathbf{r}' \sum_{\mathbf{k}} \sum_{\mathbf{q}} g_n^0(\mathbf{k}, \omega) \times \\ \times g_n^0(\mathbf{q}, -\mathbf{k}, -\omega) \Delta_n^*(\mathbf{r}') e^{2i\varphi(\mathbf{r}', \mathbf{r})} e^{i\mathbf{q}(\mathbf{r}' - \mathbf{r})}, \quad (1)$$

$$g_n^0(\mathbf{k}, \omega) = [i\omega - \xi_n(k)]^{-1}, \quad (2)$$

где  $g_n^0$  — электронная функция Грина нормального состояния в отсутствие магнитного поля,  $\omega = \pi T(2\nu + 1)$  — мацубаровская частота,  $\nu$  — целые числа,  $\xi_n$  — электронная энергия в  $n$ -ой зоне,  $V_{mn}$  — константа внутризонного ( $m = n$ ) и межзонного электрон-электронного взаимодействия ( $m \neq n$ ). Фазовый множитель  $\varphi(\mathbf{r}, \mathbf{r}')$  при указанном выше направлении магнитного поля имеет вид

$$\varphi(\mathbf{r}, \mathbf{r}') = \int_{\mathbf{r}'}^{\mathbf{r}} A(\mathbf{l}) d\mathbf{l} = eH_0(x + x')(z - z'). \quad (3)$$

Представим закон дисперсии соответственно для  $\sigma$ - и  $\pi$ -зон:

$$\xi_1(\mathbf{k}) = \xi_1^0(\mathbf{k}) + \frac{k_z^2}{2M}, \quad \xi_2(\mathbf{k}) = \zeta_2 + \frac{k_x^2 + k_y^2 + k_z^2}{2m_2} - \mu,$$

где

$$\xi_1^0(\mathbf{k}) = \zeta_1 + \frac{k_x^2 + k_y^2}{2m_1} - \mu, \quad M \gg m_1. \quad (4)$$

Такой выбор закона дисперсии отвечает наличию слабой дисперсии энергии электрона первой зоны в направлении оси  $z$  и изотропному закону дисперсии во второй зоне. Подставив в уравнение (1) определение (2), выполним интегрирование по энергии в соответствии с законами дисперсии (4): по цилиндрической поверхности Ферми в первой зоне и сферической — во второй. Учитывается отличие проекции скоростей электронов на соответствующие оси для каждой зоны: в первой зоне  $v_{1x} = v_1 \cos \varphi$ ,  $v_{1y} = v_1 \sin \varphi$ , во второй зоне  $v_{2x} = v_2 \cos \theta$ ,  $v_{2y} = v_2 \sin \theta \cos \varphi$ ,  $v_{2z} = v_2 \sin \theta \sin \varphi$ . Выполняя далее интегрирование частично по координатным переменным  $\mathbf{r}'$  и  $\mathbf{q}$ , а также суммирование по  $\omega$ , приведем систему уравнений (1) к виду

$$\Delta_1^*(x) = \lambda_{11} \frac{2T}{\nu_1} \int_1^\infty \frac{du}{\sqrt{u^2 - 1}} \int_{-\infty}^\infty \frac{\Delta_1^*(x) dx'}{2\pi T |x - x'| u} \times \\ \times \frac{\sin(\tilde{\varepsilon}eH_0 u(x^2 - x'^2))}{\tilde{\varepsilon}eH_0 u(x^2 - x'^2)} \theta(|x - x'| - \delta_{11}) + \\ + V_{12} N_2 \frac{\pi T}{\nu_2} \int_1^\infty \frac{du}{u} \int_{-\infty}^\infty \frac{dx' \Delta_2^*(x')}{2|x - x'| \pi T u} \times \\ \times J_0 \left[ (x^2 - x'^2) eH_0 \sqrt{u^2 - 1} \right] \theta(|x - x'| - \delta_{12}), \quad (5)$$

$$\begin{aligned} \Delta_2^*(x) = & \frac{2T}{\nu_1} \int_1^\infty \frac{du}{\sqrt{u^2 - 1}} \int_{-\infty}^\infty \frac{\Delta_1^*(x) dx'}{\operatorname{sh} \frac{2\pi T|x - x'|u}{\nu_1}} \times \\ & \times \frac{\sin(\tilde{\varepsilon}eH_0u(x^2 - x'^2))}{\tilde{\varepsilon}eH_0u(x^2 - x'^2)} \theta(|x - x'| - \delta_{21}) + \\ & + \frac{\pi T}{\nu_2} \int_1^\infty \frac{du}{u} \int_{-\infty}^\infty \frac{dx' \Delta_2^*(x')}{\operatorname{sh} \frac{2|x - x'| \pi Tu}{\nu_2}} \times \\ & \times J_0[(x^2 - x'^2)eH_0\sqrt{u^2 - 1}] \theta(|x - x'| - \delta_{22}), \quad (6) \end{aligned}$$

где  $\lambda_{nm}$  — константы электрон-фононного взаимодействия, перенормированные в двухзонной теории с сильной связью и с учетом кулоновского электрон-электронного взаимодействия [9],  $\theta$  — ступенчатая функция, соответствующая обрезанию интегралов в координатном пространстве, а анизотропные величины  $\delta_{ij}$  отвечают обрезанию интегралов по энергии в импульсном пространстве. В формулах (5), (6)  $\tilde{\varepsilon} = p_0\varepsilon/m_1\nu_1$  — малый параметр, а  $J_0$  — функция Бесселя.

При  $\lambda_{11}\lambda_{22} \gg \lambda_{12}\lambda_{21}$  решение для параметров порядка  $\Delta_n(x)$  можно выбрать в виде

$$\Delta_1(x) = e^{-\tilde{\varepsilon}eH_0x^2} \Delta_1, \quad \Delta_2(x) = e^{-eH_0x^2} \Delta_2. \quad (7)$$

Воспользовавшись решением (7) и выполнив в системе уравнений (5), (6) ряд преобразований (см. Приложение А в работе [23]), приведем ее к виду

$$\begin{aligned} \Delta_1^* = & \Delta_1^*\lambda_{11}\xi^{(1)}(T_c) + \Delta_1^*\lambda_{11}\left[\xi^{(1)}(T) - \xi^{(1)}(T_c)\right] - \\ & - \lambda_{11}f_{11}(\rho_1\tilde{\varepsilon})\Delta_1^* + \tilde{\lambda}_{12}\Delta_2^*\xi^{(2)}(T_c) + \\ & + \tilde{\lambda}_{12}\left[\xi^{(2)}(T) - \xi^{(2)}(T_c)\right]\Delta_2^* - \tilde{\lambda}_{12}f_{12}(\rho_2\tilde{\varepsilon})\Delta_2^*, \quad (8) \\ \Delta_2^* = & \tilde{\lambda}_{21}\Delta_1^*\xi^{(1)}(T_c) + \tilde{\lambda}_{21}\Delta_1^*\left[\xi^{(1)}(T) - \xi^{(1)}(T_c)\right] - \\ & - \tilde{\lambda}_{21}f_{21}(\rho_1\tilde{\varepsilon})\Delta_1^* + \lambda_{22}\Delta_2^*\xi^{(2)}(T_c) + \\ & + \lambda_{22}\left[\xi^{(2)}(T) - \xi^{(2)}(T_c)\right] - \lambda_{22}f_{22}(\rho_2\tilde{\varepsilon})\Delta_2^*, \end{aligned}$$

где

$$\begin{aligned} \xi^{(n)}(T) = & \int_{-d_n}^{d_{cn}} d\varepsilon \frac{\operatorname{th}(\beta\varepsilon/2)}{2\varepsilon}, \\ \xi^{(n)}(T_c) = & \int_{-d_n}^{d_{cn}} d\varepsilon \frac{\operatorname{th}(\beta_c\varepsilon/2)}{2\varepsilon}, \quad (9) \\ \tilde{\lambda}_{12} = & \tilde{\varepsilon}^{1/2} \sqrt{\frac{2}{\tilde{\varepsilon} + 1}}, \quad \tilde{\lambda}_{21} = \sqrt{\frac{2}{\tilde{\varepsilon} + 1}} \lambda_{21}, \end{aligned}$$

$\beta = 1/T$ ,  $\beta_c = 1/T_c$ , а значения  $d_n = \mu - \zeta_n$ ,  $d_{cn} = \zeta_{cn} - \mu$  — параметры обрезания интегралов по

энергии при переменной плотности носителей заряда,  $\mu$  — химический потенциал. При фононном механизме сверхпроводимости (случай MgB<sub>2</sub>) эти параметры имеют вид

$$\begin{aligned} d_n = & \begin{cases} \mu - \zeta_n & \text{при } \mu - \zeta_n \leq \omega_n, \\ \omega_n & \text{при } \mu - \zeta_n > \omega_n, \end{cases} \\ d_{cn} = & \begin{cases} \omega_n & \text{при } \zeta_{cn} - \mu > \omega_n, \\ \zeta_{cn} - \mu & \text{при } \zeta_{cn} - \mu < \omega_n. \end{cases} \end{aligned} \quad (10)$$

Здесь  $\omega_n$  — характерная фононная частота, соответствующая  $n$ -й энергетической зоне. Функции  $f_{nm}$ , содержащие зависимость от магнитного поля, имеют вид

$$\begin{aligned} f_{11} = & \frac{(\tilde{\varepsilon}\rho_1)^{-1/2}}{\pi} \int_{-1}^1 dy \int_1^\infty \frac{du}{\sqrt{u^2 - 1}} \times \\ & \times \int_0^\infty \frac{d\zeta}{\operatorname{sh}(\zeta u/\tilde{\varepsilon}^{1/2}\rho_1^{1/2})} \times \\ & \times \left(1 - \exp\left(-\frac{\zeta^2}{2}(1 + u^2y^2)\right)\right), \quad (11) \end{aligned}$$

$$\begin{aligned} f_{12} = & \rho_2^{-1/2} \int_0^\pi d\varphi \int_1^\infty \frac{du}{u} \int_0^\infty \frac{d\zeta}{\operatorname{sh}(\zeta u/\rho_2^{1/2})} \times \\ & \times \left(1 - \exp\left(\frac{-\zeta^2(1 + \tilde{\varepsilon})}{4} + \right. \right. \\ & \left. \left. + \frac{\zeta^2(\tilde{\varepsilon} - 1 + 2i\sqrt{u^2 - 1}\cos\varphi)^2}{4(1 + \tilde{\varepsilon})}\right)\right), \quad (12) \end{aligned}$$

$$\begin{aligned} f_{21} = & \frac{\rho_1^{-1/2}}{\pi} \int_{-1}^1 dy \int_1^\infty \frac{du}{\sqrt{u^2 - 1}} \int_0^\infty \frac{d\zeta}{\operatorname{sh}(\zeta u/\rho_1^{1/2})} \times \\ & \times \left(1 - \exp\left\{\frac{-\zeta^2(1 + \tilde{\varepsilon})}{4} \times \right. \right. \\ & \left. \left. \times \left[1 - \left(\frac{1 - \tilde{\varepsilon} - 2i\tilde{\varepsilon}uy}{1 + \tilde{\varepsilon}}\right)^2\right]\right\}\right), \quad (13) \end{aligned}$$

$$\begin{aligned} f_{22} = & \rho_2^{-1/2} \int_1^\infty \frac{du}{u} \int_0^\infty \frac{d\zeta}{\operatorname{sh}(\zeta u/\rho_2^{1/2})} \times \\ & \times \left[1 - \exp\left\{-\frac{\zeta^2}{4}(u^2 + 1)\right\} I_0\left(\frac{\zeta^2(u^2 - 1)}{4}\right)\right]. \quad (14) \end{aligned}$$

В определения функций  $f_{mn}$  введен безразмерный параметр  $\rho_n^{1/2} = \nu_n(eH_0)^{1/2}/2\pi T$ , который содержит критическое поле  $H_0 = H_{c2}^{(ab)}$  и скорость электронов  $v_n$  на соответствующей полости поверхности Ферми.

### 3. УРАВНЕНИЯ ДЛЯ ОПРЕДЕЛЕНИЯ ВЕРХНЕГО КРИТИЧЕСКОГО ПОЛЯ $H_{c2}^{(ab)}$ И КРИТИЧЕСКОЙ ТЕМПЕРАТУРЫ СВЕРХПРОВОДЯЩЕГО ПЕРЕХОДА $T_c$ . АНАЛИТИЧЕСКИЕ РЕШЕНИЯ

Дополним систему уравнений (8), являющуюся основой для определения верхнего критического поля  $H_0 = H_{c2}^{(ab)}$ , системой уравнений для определения температуры сверхпроводящего перехода. В пределе  $H \rightarrow \infty$  система уравнений для параметров порядка  $\Delta_{n0}^*$  имеет вид

$$\begin{aligned}\Delta_{10}^* &= \lambda_{11}\Delta_{10}^*\xi^{(1)}(T) + \lambda_{12}\Delta_{20}^*\xi^{(2)}(T), \\ \Delta_{20}^* &= \lambda_{21}\Delta_{10}^*\xi^{(1)}(T) + \lambda_{22}\Delta_{20}^*\xi^{(2)}(T).\end{aligned}\quad (15)$$

Из условия разрешимости этой системы для температуры сверхпроводящего перехода  $T = T_c$  получаем

$$a\xi^{(1)}(T_c)\xi^{(2)}(T_c) - \lambda_{11}\xi^{(1)}(T_c) - \lambda_{22}\xi^{(2)}(T_c) + 1 = 0,\quad (16)$$

где  $a = \lambda_{11}\lambda_{22} - \lambda_{12}\lambda_{21}$ , а  $\xi^{(n)}(T)$  дано формулой (9). Приравнивая нуль определитель системы уравнений (8) и используя уравнение (16), получаем уравнение для определения верхнего критического поля  $H_0 = H_{c2}^{(ab)}$  для системы в магнитном поле  $\mathbf{H} \parallel ab$ . Это уравнение имеет вид

$$\begin{aligned}&\lambda_{11}\lambda_{22}\tilde{F}_{11}\tilde{F}_{22} - \tilde{\lambda}_{12}\tilde{\lambda}_{21}\tilde{F}_{12}\tilde{F}_{21} + \\ &+ \lambda_{11}\left[1 - \lambda_{22}\xi^{(2)}(T_c)\right]\tilde{F}_{11} + \lambda_{22}\left[1 - \lambda_{11}\xi^{(1)}(T_c)\right]\tilde{F}_{22} + \\ &+ \tilde{\lambda}_{12}\tilde{\lambda}_{21}\xi^{(2)}(T_c)\tilde{F}_{21} + \tilde{\lambda}_{21}\tilde{\lambda}_{12}\xi^{(1)}(T_c)\tilde{F}_{12} = 0,\end{aligned}\quad (17)$$

где

$$\tilde{F}_{mn} = f_{mn} + \xi^{(n)}(T_c) - \xi^{(n)}(T),\quad (18)$$

$$\begin{aligned}f_{mn} &= f_{mn}(\rho_n, \tilde{\varepsilon}), \\ \xi^{(n)}(T_c) - \xi^{(n)}(T) &= -\ln(T_c/T).\end{aligned}\quad (19)$$

Для изучения сверхпроводящих свойств системы с переменной плотностью носителей заряда необходимо уравнение (17) дополнить соотношением, которое определяет химический потенциал  $\mu$  (плотность носителей заряда  $\tilde{n}$ ) [24, 25]:

$$\begin{aligned}\tilde{n} = \sum_m N_m \int_{-d_m}^{d_m} d\varepsilon_m \left[ \frac{|E_m(\mathbf{k}) - \varepsilon(\mathbf{k}) - \mu|}{E_m(\mathbf{k})} + \right. \\ \left. + \frac{2|\varepsilon_m(\mathbf{k}) - \mu|}{E_m(\mathbf{k})} \frac{1}{1 + \exp(\beta E_m(\mathbf{k}))} \right].\end{aligned}\quad (20)$$

Полагая  $d_m/T_c, d_{mc}/T_c \gg 1$ , на основании соотношения (20) получаем

$$\tilde{n} = \sum_n N_n [\zeta_{cn} - \zeta_n - |\zeta_{cn} - \mu| + |\zeta_n - \mu|].\quad (21)$$

Система уравнений (16), (17) и (21) позволяет определить значение критической температуры  $T_c$  и верхнего критического поля  $H_{c2}^{(ab)}(T)$  при любой плотности носителей заряда. Если мы фиксируем химический потенциал  $\mu$  (плотность носителей заряда  $\tilde{n}$ ) на уровне его значения для чистого MgB<sub>2</sub> (скажем  $\mu = \mu_0, \tilde{n} = \tilde{n}_0$ ), то указанная система уравнений позволит нам определить температуру сверхпроводящего перехода  $T_c$  и верхнее критическое поле  $H_{c2}^{(ab)}$  чистого MgB<sub>2</sub>.

Уравнение (17) содержит сложные интегральные зависимости  $f_{mn}$  (11)–(14), в результате чего решение такого уравнения возможно во всем температурном интервале  $0 < T < T_c$  только лишь численными методами. Однако можно найти аналитические решения этого уравнения в двух предельных случаях: вблизи критической температуры  $\tilde{\varepsilon}\rho_n \ll 1$  при  $T_c - T \ll T_c$  и в области низких температур  $\tilde{\varepsilon}\rho_n \gg 1$  при  $T \ll T_c$ . (Вычисления асимптотик функций  $f_{mn}$  см. в Приложении В работы [23].) Рассмотрим по отдельности каждую из этих областей.

а) Вблизи температуры сверхпроводящего перехода ( $T_c - T \ll T_c$ ),  $\tilde{\varepsilon}\rho_n \ll 1$ ,  $\rho_n \ll 1$  для функций  $f_{mn}$  ( $m, n = 1, 2$ ) на основании определений (11)–(14) получаем

$$\begin{aligned}f_{11}(\rho_1, \tilde{\varepsilon}) &= \frac{35}{24}\zeta(3)\tilde{\varepsilon}\rho_1 - \\ &- \frac{109 \cdot 31}{40 \cdot 16}\zeta(5)\tilde{\varepsilon}^2\rho_1^2 + \dots, \\ f_{12}(\rho_2) &= \frac{7}{6}\zeta(3)\rho_2 - \frac{31}{10}\zeta(5)\rho_2^2 + \dots, \\ f_{21}(\rho_1, \tilde{\varepsilon}) &= \frac{7(3+2\tilde{\varepsilon})}{12(1+\tilde{\varepsilon})}\zeta(3)\tilde{\varepsilon}\rho_1 - \\ &- \frac{31(25+80\tilde{\varepsilon}+4\tilde{\varepsilon}^2)}{160(1+\tilde{\varepsilon})^2}\zeta(5)\tilde{\varepsilon}^2\rho_1^2 + \dots, \\ f_{22}(\rho_2) &= \frac{7}{6}\zeta(3)\rho_2 - \frac{31}{10}\zeta(5)\rho_2^2 + \dots,\end{aligned}\quad (22)$$

где  $\zeta(x)$  – дзета-функция Римана.

б) Вблизи нулевой температуры  $T \ll T_c$ ,  $\tilde{\varepsilon}\rho_n \gg 1$ ,  $\rho_n \gg 1$  асимптотики функции  $f_{mn}$  имеют вид

$$\begin{aligned}
f_{11}(\rho_1, \tilde{\varepsilon}) &= \ln \left( \kappa \sqrt{\tilde{\varepsilon} \rho_1 \gamma} \right) - \\
&- \frac{1}{\pi^2 \rho_1 \tilde{\varepsilon}} \left[ \zeta'(2) - \frac{\zeta(2)}{2} \ln \left( \frac{\tilde{\varepsilon} \rho_1 \gamma \pi^2}{2e_0^{1/2}} \right) \right] + \dots, \\
f_{12}(\rho_2, \tilde{\varepsilon}) &= \ln \left( \frac{2\sqrt{2\rho_2\gamma}}{e_0} \right) - \\
&- \frac{1}{\pi^2 \rho_2} \left[ \zeta'(2) - \frac{\zeta(2)}{2} \ln \left( \frac{\rho_2 \gamma \pi (1+\tilde{\varepsilon})}{4} \right) \right] + \dots, \\
f_{21}(\rho_1, \tilde{\varepsilon}) &= \ln \left( c(\tilde{\varepsilon}) \sqrt{\tilde{\varepsilon} \rho_1 \gamma} \right) - \frac{1+\tilde{\varepsilon}}{2\pi^2 \rho_1 \tilde{\varepsilon}^{3/2}} \times \\
&\times \left[ \zeta'(2) - \frac{\zeta(2)}{2} \left( \ln \left( \frac{\tilde{\varepsilon} \rho_1 \gamma \pi^2}{1+\tilde{\varepsilon}} \right) - \frac{\tilde{\varepsilon}}{2} \right) \right] + \dots, \\
f_{22}(\rho_2) &= \ln \left( \frac{2\sqrt{2\rho_2\gamma}}{e_0} \right) - \\
&- \frac{1}{\pi^2 \rho_2} \left[ \zeta'(2) - \frac{\zeta(2)}{2} \ln \left( \frac{\rho_2 \gamma \pi^2}{2} \right) \right] + \dots,
\end{aligned} \tag{23}$$

$$\kappa = \frac{1+\sqrt{2}}{\sqrt{2}} e_0^{1-\sqrt{2}} \approx 1.12,$$

$$\begin{aligned}
c(\tilde{\varepsilon}) &= \frac{\sqrt{2.41 (1 + \sqrt{1 + \tilde{\varepsilon}^2})}}{\sqrt{1 + \tilde{\varepsilon}}} \times \\
&\times \exp \left( -0.205 + \frac{1}{\tilde{\varepsilon}} \sqrt{1 + \frac{1}{\tilde{\varepsilon}^2}} \right),
\end{aligned}$$

$e_0$  — основание натурального логарифма,  $C = \ln \gamma$  — постоянная Эйлера.

Перейдем к некоторым упрощениям, полагая  $\xi^{(1)}(T) = \xi^{(2)}(T) = \xi(T)$  и  $\xi_1(T_c) = \xi_2(T_c) = \xi(T_c)$ , а затем рассмотрим по отдельности каждую из приведенных выше температурных областей.

а)  $\tilde{\varepsilon} \rho_n \ll 1$ ,  $\rho_1 \ll 1$ ,  $T_c - T \ll T_c$ . В этом случае в уравнении (17) можно отбросить члены, содержащие произведения  $f_{11}f_{22}$  и  $f_{12}f_{21}$ , поскольку при них имеются коэффициенты  $\lambda_{11}\lambda_{22}$ ,  $\lambda_{12}\lambda_{21}$ , которые для MgB<sub>2</sub> являются малыми (гораздо меньше единицы). Это приближение равнозначно пренебрежению членами порядка  $\rho_n^3 \ll 1$ . При этом уравнение (17) приобретает вид

$$\begin{aligned}
&\lambda_{11}f_{11}(\rho_1, \tilde{\varepsilon}) + \lambda_{22}f_{22}(\rho_2) + \\
&+ \xi(T_c) \left( \tilde{\lambda}_{12}\tilde{\lambda}_{21}f_{21}(\rho_1, \tilde{\varepsilon}) - \lambda_{11}\lambda_{22}f_{11}(\rho_1, \tilde{\varepsilon}) \right) + \\
&+ f_{22}(\rho_2) [\lambda_{22} - a\xi(T_c)] - \tilde{\nu} \ln(T_c/T) = 0,
\end{aligned} \tag{24}$$

где

$$\begin{aligned}
\tilde{\nu} &= a\varphi \pm \sqrt{(\lambda_{11} - \lambda_{22} - a\varphi)^2 - 4a\psi}, \\
a &= \lambda_{11}\lambda_{22} - \lambda_{12}\lambda_{21}.
\end{aligned} \tag{25}$$

Значения функций  $\varphi$  и  $\psi$  вытекают из определения температуры сверхпроводящего перехода, из обрезания интегралов по энергии (10) и определения химического потенциала  $\mu$  (21). Возникают соотношения:

1. при  $\mu - \xi_2 < \omega_0$ ,  $\xi_{c1} - \mu > \omega_0$  имеем

$$\varphi = \frac{1}{2} \ln \frac{\mu - \xi_2}{\omega_0}, \quad \psi = 1 - \lambda_{22} \frac{1}{2} \ln \frac{\mu - \xi_2}{\omega_0},$$

2. при  $\mu - \xi_2 > \omega_0$ ,  $\xi_{c1} - \mu > \omega_0$  имеем

$$\varphi = 0, \quad \psi = 1,$$

3. при  $\mu - \xi_2 > \omega_0$ ,  $\xi_{c1} - \mu < \omega_0$  имеем

$$\varphi = \frac{1}{2} \ln \frac{\xi_1 - \mu}{\omega_0}, \quad \psi = 1 - \lambda_{11} \frac{1}{2} \ln \frac{\xi_{c1} - \mu}{\omega_0}. \tag{26}$$

При этом в точках  $\mu = \xi_2$  и  $\mu = \xi_{c1}$ , получаем соответственно,

$$\begin{aligned}
\xi_c &= \frac{2\lambda_{11} + \lambda_{22} \pm \sqrt{(2\lambda_{11} - \lambda_{22})^2 + 8\tilde{\lambda}_{12}\tilde{\lambda}_{21}}}{2a}, \\
\xi_c &= \frac{\lambda_{11} + 2\lambda_{22} \pm \sqrt{(\lambda_{11} - 2\lambda_{22})^2 + 8\tilde{\lambda}_{12}\tilde{\lambda}_{21}}}{2a}.
\end{aligned} \tag{27}$$

Подставляя в (17) разложения (22) и ограничившись квадратными членами по искомой величине  $\rho_1 = \nu_1 e H_0 / (2\pi T)^2$ , получаем уравнение

$$\tilde{\alpha}\rho_1^2 + \tilde{\beta}\rho_1 + \tilde{\chi} = 0, \tag{28}$$

где

$$\begin{aligned}
\tilde{\alpha} &= -\frac{31}{10} \zeta(5) \left[ \frac{\lambda_{22} - a\xi_c}{\lambda^4} - \right. \\
&\left. - \frac{\tilde{\varepsilon}^2}{16} \xi_c \left( \frac{109}{4} \lambda_{11} \lambda_{22} - \frac{(25+80\tilde{\varepsilon}+4\tilde{\varepsilon}^2)}{(1+\tilde{\varepsilon})^2} \tilde{\lambda}_{12} \tilde{\lambda}_{21} \right) + \right. \\
&\left. + \frac{109}{64} \tilde{\varepsilon}^2 \lambda_{11} \right], \\
\tilde{\beta} &= \frac{7}{6} \zeta(3) \left[ \frac{\lambda_{22} - a\xi_c}{\lambda^2} - \right. \\
&\left. - \frac{\tilde{\varepsilon}}{2} \xi_c \left( \frac{5}{2} \lambda_{11} \lambda_{22} - \frac{(3+2\tilde{\varepsilon})}{2(1+\tilde{\varepsilon})} \tilde{\lambda}_{12} \tilde{\lambda}_{21} \right) + \frac{5}{4} \tilde{\varepsilon} \lambda_{11} \right], \\
\tilde{\chi} &= -\tilde{\nu} \left( \theta + \frac{\theta^2}{2} \right).
\end{aligned} \tag{29}$$

Решение уравнения (28) с последующим разложением этого решения по величине  $\theta = 1 - T/T_c$  определяет верхнее критическое поле  $H_{c2}^{(ab)}(T) = H_0(T)$  вблизи температуры сверхпроводящего перехода:

$$\rho_1 = \frac{\tilde{\nu}}{\tilde{\beta}} \theta + \left( \frac{\tilde{\nu} (\tilde{\beta}^2 - 2\tilde{\alpha}\tilde{\nu})}{2\tilde{\beta}^3} \right) \theta^2. \tag{30}$$

Формулу (30) нетрудно преобразовать к виду

$$\tilde{\rho} = \rho_1 \lambda^{-1} \left( \frac{T}{T_c^0} \right)^{-2} = \left( \frac{\tilde{\nu}\theta}{\tilde{\beta}} + \right. \\ \left. + \left( \frac{\tilde{\nu}(\tilde{\beta}^2 - 2\tilde{\alpha}\tilde{\nu})}{2\tilde{\beta}^3} \right) \theta^2 \right) \lambda^{-1} \left( \frac{T}{T_c^0} \right)^{-2}. \quad (31)$$

Введем далее величину  $\tilde{\rho} = \nu_1 \nu_2 e H_0(T) / (2\pi T_c^0)^2$ , которая выступает как безразмерное верхнее критическое поле ( $\tilde{\rho} \sim H_0(T)$ ).

б) Область низких температур  $T \ll T_c$ ,  $\tilde{\varepsilon}\rho_n \gg 1$ . Подставляя в уравнение (17) асимптотические формулы (23), с учетом основных членов разложения нетрудно получить уравнение, определяющее величину  $H_0 = H_{c2}^{(ab)}$  в области низких температур:

$$\tilde{a}(\ln x)^2 + B \ln x + \overline{C} + F(T) = 0, \quad (32)$$

$$x = \sqrt{\tilde{\varepsilon}\gamma\rho_c},$$

где

$$\begin{aligned} \tilde{a} &= \lambda_{11}\lambda_{22} - \tilde{\lambda}_{12}\tilde{\lambda}_{21}, \quad B = \tilde{a} \ln \frac{2\sqrt{2}}{e_0} + \tilde{\nu} - \Lambda, \\ \overline{C} &= \Lambda\xi_c - \tilde{a} \ln \lambda + \\ &+ \left( 0.04\tilde{a} - \tilde{a} \ln \sqrt{\tilde{\varepsilon}} + \lambda_{11} - \lambda_{22} + \Lambda \right) \ln \sqrt{\lambda} + \\ &+ \lambda_{11} \ln \kappa - \left( 0.4 - \tilde{a} \ln \sqrt{\tilde{\varepsilon}} \right) (\Lambda + \tilde{a}\xi_c - \lambda_{22}), \\ \Lambda &= \tilde{\lambda}_{12}\tilde{\lambda}_{21} \ln c(\tilde{\varepsilon}) - \lambda_{11}\lambda_{22} \ln \kappa, \\ \rho_c &= \frac{\nu_1\nu_2 e H_0}{(2\pi T_c)^2}. \end{aligned} \quad (33)$$

Первые три члена в уравнении (32) не зависят от температуры, вся температурная зависимость содержится в функции  $F(T)$ , определяемой выражением

$$\begin{aligned} F(T) &= \tilde{\lambda}_{12}\tilde{\lambda}_{21} \left( \xi(T_c) - \ln \left( x\sqrt{\lambda} c(\tilde{\varepsilon}) \right) + q_{21} \right) q_{12} - \\ &- \left( \ln \frac{2\sqrt{2}x}{e_0\sqrt{\lambda}\tilde{\varepsilon}} - \xi_c \right) q_{21} - \\ &- q_{22} \left( \left( \xi(T_c) - \ln \left( cx\sqrt{\lambda} \right) \right) \lambda_{11} - 1 \right) \lambda_{22} + \\ &+ q_{11}\lambda_{11} \left( \left( -\ln \frac{2\sqrt{2}x}{e_0\sqrt{\lambda}\tilde{\varepsilon}} + \xi(T_c) + q_{22} \right) \lambda_{22} - 1 \right). \end{aligned} \quad (34)$$

Здесь

$$\begin{aligned} q_{11}(T) &= \frac{1}{\pi^2 \rho_c \tilde{\varepsilon} \lambda} \left( \frac{T}{T_c} \right)^2 \times \\ &\times \left[ \zeta'(2) - \frac{\zeta(2)}{2} \ln \left( \frac{\tilde{\varepsilon}\rho_c\gamma\pi^2\lambda}{2e_0^{1/2}} \left( \frac{T_c}{T} \right)^2 \right) \right], \end{aligned}$$

$$\begin{aligned} q_{12}(T) &= \frac{\lambda}{\pi^2 \rho_c} \left( \frac{T}{T_c} \right)^2 \times \\ &\times \left[ \zeta'(2) - \frac{\zeta(2)}{2} \ln \left( \frac{\rho_c\gamma\pi^2(1+\tilde{\varepsilon})}{4\lambda} \left( \frac{T_c}{T} \right)^2 \right) \right], \end{aligned}$$

$$\begin{aligned} q_{21}(T) &= \frac{(1+\tilde{\varepsilon})}{2\pi^2 \rho_c \lambda \tilde{\varepsilon}^{3/2}} \left( \frac{T}{T_c} \right)^2 \times \\ &\times \left[ \zeta'(2) - \frac{\zeta(2)}{2} \left( \ln \left( \frac{\tilde{\varepsilon}^2 \rho_c \gamma \pi^2 \lambda}{1+\tilde{\varepsilon}} \left( \frac{T_c}{T} \right)^2 \right) - \frac{\tilde{\varepsilon}}{2} \right) \right], \end{aligned}$$

$$\begin{aligned} q_{22}(T) &= \frac{\lambda}{\pi^2 \rho_c} \left( \frac{T}{T_c} \right)^2 \times \\ &\times \left[ \zeta'(2) - \frac{\zeta(2)}{2} \ln \left( \frac{\rho_c \gamma \pi^2}{2\lambda} \left( \frac{T_c}{T} \right)^2 \right) \right]. \end{aligned}$$

Имеет смысл оценить изменение верхнего критического поля  $H_0 = H_{c2}^{(ab)}$  при изменении плотности носителей заряда  $\tilde{\varepsilon}$ . С этой целью мы рассмотрим случай  $T = 0$ . Решение уравнения (32) для додированного MgB<sub>2</sub> при  $T = 0$  имеет вид

$$\rho_c = (\gamma\tilde{\varepsilon})^{-1} \exp \left\{ -\frac{B \pm \sqrt{B^2 - 4\tilde{a}\overline{C}}}{\tilde{a}} \right\}. \quad (35)$$

На основании формулы (35) и определения величины  $\tilde{\rho}$  имеем выражение для верхнего критического поля  $H_{c2}^{(ab)}$  при  $T = 0$ :

$$\tilde{\rho} = (\gamma\tilde{\varepsilon})^{-1} \exp \left\{ -\frac{B \pm \sqrt{B^2 - 4\tilde{a}\overline{C}}}{\tilde{a}} \right\} \left( \frac{T_c}{T_c^0} \right)^2. \quad (36)$$

Из формулы (36) нетрудно определить величину  $H_{c2}^{(ab)}$  для чистого MgB<sub>2</sub>. Для этого следует заменить величину  $\mu$  на значение  $\mu_0 = 0.74$  эВ, соответствующее чистому MgB<sub>2</sub>.

#### 4. СЛУЧАЙ $\mathbf{H} \parallel \mathbf{c}$ . ОПРЕДЕЛЕНИЕ $H_{c2}^{(c)}$

Выше мы привели теорию верхнего критического поля  $H_{c2} \parallel ab$  для двухзонной анизотропной системы. В MgB<sub>2</sub> значение верхнего критического поля максимально. Представляет интерес привести результаты вычисления минимального значения верхнего критического поля в интерметаллическом соединении MgB<sub>2</sub> при магнитном поле  $\mathbf{H} \parallel \mathbf{c}$ . Эта информация вместе с результатами для  $H_{c2} \parallel ab$  позволит получить температурную зависимость коэффициента  $\gamma_H = H_{c2}^{(ab)}/H_{c2}^{(c)}$ , определяющего анизотропию верхнего критического поля.

В случае  $\mathbf{H} \parallel \mathbf{c}$  можно выбрать  $A_x = A_z = 0$ ,  $A_y = H_0(x + x')/2$  и для фазового множителя имеем

$$2\varphi(\mathbf{r}', \mathbf{r}) = eH_0(x + x')(y' - y). \quad (37)$$

В рассматриваемом здесь случае  $\mathbf{H} \parallel \mathbf{c}$  важную роль играет средняя скорость электронов в плоскости  $ab$  для обеих энергетических зон, а значение скорости в направлении оси  $z$  оказывается несущественным. Это обстоятельство избавляет нас от необходимости введения параметра, определяющего отклонение  $\sigma$ -зоны от двумерности, и делает задачу менее анизотропной (детально см. [26]). Приведем некоторые результаты. Критическое магнитное поле  $H_{c2}^{(c)}$  определяется уравнением

$$a\tilde{f}_1(\rho_1)\tilde{f}_2(\rho_2) + [\lambda_{11} - a\xi_c]\tilde{f}_1(\rho_1) + [\lambda_{22} - a\xi_c]\tilde{f}_2(\rho_2) = 0, \quad (38)$$

где

$$\begin{aligned} \tilde{f}_1(\rho_1) &= f_1(\rho_1) - \ln\left(\frac{T_c}{T}\right)^{1/2}, \\ \tilde{f}_2(\rho_2) &= f_2(\rho_2) - \ln\frac{T_c}{T}, \end{aligned} \quad (39)$$

$$\begin{aligned} f_1(\rho_1) &= \frac{\rho_1^{-1/2}}{\pi} \int_1^\infty \frac{du}{\sqrt{u^2 - 1}} \int_0^\infty \frac{d\xi}{\sinh \frac{\xi u}{\rho_1^{1/2}}} \times \\ &\quad \times \left[ 1 - \exp\left(-\frac{\xi^2 u^2}{2}\right) \right]. \end{aligned} \quad (40)$$

Функция  $f_2(\rho_2)$  соответствует выражению  $f_{22}$  (14). Асимптотики для функции  $f_1(\rho_1)$  имеют вид

$$\begin{aligned} f_1(\rho_1) &= \frac{7}{8}\zeta(3)\rho_1 - \frac{31 \cdot 3}{32}\zeta(5)\rho_1^2 + \dots \\ &\quad \text{при } \rho_1 \ll 1, \\ f_1(\rho_1) &= \frac{1}{4}\ln 2\gamma\rho_1 + \frac{1}{\rho_1} \frac{3}{2\pi^2}\zeta(2) - \\ &\quad - \frac{1}{\rho_1^2} \frac{9}{4\pi^4}\zeta(4) + \dots \quad \text{при } \rho_1 \gg 1. \end{aligned} \quad (41)$$

Асимптотики для функции  $f_2(\rho_2)$  совпадают с формулами (23) и (24).

Решение уравнения (38) с учетом приведенных выше асимптотик для функций  $f_n(\rho_n)$  позволяет получить решение в области температуры, близкой к критической  $(T_c - T) \ll T_c$ ,  $\rho_n \ll 1$  и вблизи нулевой температуры ( $T \ll T_c$ ),  $\rho_n \gg 1$ . Эти решения имеют следующий вид:

при  $\rho_n \ll 1$

$$\rho_1(T) = \frac{\nu_1^2 e H_0(T)}{(2\pi T_{c0})^2} = \alpha_1 \theta + \alpha_2 \theta^2, \quad (42)$$

$$\begin{aligned} \alpha_1 &= \frac{\eta_1 + 2\eta_2}{7\zeta(3) \left[ \frac{\eta_1}{4} + \frac{\eta_2}{3} \frac{1}{\lambda^2} \right]}, \\ \alpha_2 &= \alpha_1 \left\{ \frac{\left[ \frac{31 \cdot 3}{16}\eta_1 + \frac{31}{5} \frac{1}{\lambda^2}\eta_2 \right] \zeta(5)\alpha_1}{\left[ \frac{1}{4}\eta_1 + \frac{1}{3} \frac{1}{\lambda^2}\eta_2 \right] 7\zeta(3)} + 1 \right\}. \end{aligned} \quad (43)$$

Здесь

$$\begin{aligned} \theta &= 1 - \frac{T}{T_c}, \\ \eta_{1,2} &= \frac{1}{2}[1 \pm \eta], \\ \eta &= (\lambda_{11} - \lambda_{22})[(\lambda_{11} - \lambda_{22})^2 + 4\lambda_{11}\lambda_{22}]^{1/2}; \end{aligned} \quad (44)$$

при  $\rho_n \gg 1$

$$\begin{aligned} \tilde{\rho}(T) &= \frac{\nu_1 \nu_2 e H_0(T)}{(2\pi T_c)^2} = \\ &= \frac{e_0}{4\gamma} \exp\left(\frac{1}{2}\eta_- - \frac{3}{2}\nu(1) + \Omega(\lambda)\right) \times \\ &\quad \times \left[ 1 - \frac{F_\parallel^c(T)}{\Omega(\lambda)} \right] \left(\frac{T_c}{T_c^0}\right)^2, \end{aligned} \quad (45)$$

$$\eta_- = \frac{\lambda_{11} - \lambda_{22}}{a}, \quad (46)$$

$$\nu(1) = \frac{1}{a} \sqrt{(\lambda_{11} - \lambda_{22} - a \ln \lambda)^2 + 4\lambda_{12}\lambda_{21}},$$

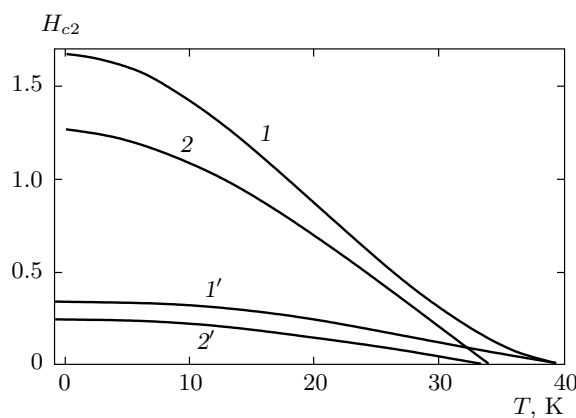
$$\Omega(\lambda) = \left\{ \left[ -\ln \frac{e_0 \lambda}{2} + \frac{3}{2}\eta_- - \frac{1}{2}\nu(1) \right]^2 + \frac{8\lambda_{12}\lambda_{21}}{a^2} \right\}. \quad (47)$$

Выражение (42) определяет  $H_{c2}^{(c)}$  вблизи критической температуры  $T_c - T \ll T_c$ , а формула (45) определяет эту же величину вблизи нулевой температуры при произвольном значении химического потенциала  $\mu$ . При  $\mu = \mu_0$  ( $T_c = T_{c0}$ ) получим значения этих величин для чистого MgB<sub>2</sub>.

## 5. ЧИСЛЕННЫЕ РАСЧЕТЫ И ОБСУЖДЕНИЕ РЕЗУЛЬТАТОВ

Данная работа посвящена исследованию магнитных свойств двухзонного сверхпроводника в области магнитных полей, близких к верхнему критическому полю  $H_{c2}$ .

Для выполнения этих исследований нами на основании работ [16, 17] развита микроскопическая теория, которая содержит методику определенного аналитического расчета и позволяет учесть анизотропные свойства двухзонной системы, характерные



**Рис. 1.** Зависимости величин верхнего критического поля  $H_{c2}^{(ab)}$ ,  $H_{c2}^{(c)}$  (соответственно кривые 1, 1') в чистом  $\text{MgB}_2$  и тех же величин (кривые 2, 2') в допированном  $\text{MgB}_2$  от температуры

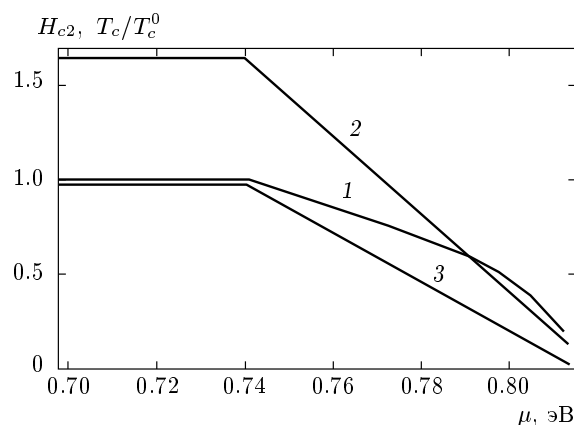
для  $\text{MgB}_2$ . Учет же анизотропии приводит к аномалиям физических характеристик этого соединения. Предложенная методика позволяет одновременно рассматривать как чистый анизотропный двухзонный сверхпроводник, так и интерметаллическое соединение  $\text{MgB}_2$ , в котором выполнено замещение атомов Mg и B другими элементами периодической системы элементов.

На наш взгляд, этот более общий подход удобен, поскольку позволяет, основываясь на полученных уравнениях, параллельно извлекать результаты для случая чистого и допированного сверхпроводников, сравнивать и анализировать их.

Приведем результаты численных расчетов, полученные для верхнего критического поля  $H_{c2}^{(ab)}$  с помощью уравнения (17) и соотношения (21), определяющего значение химического потенциала, а также уравнения (38), позволяющего определить верхнее критическое поле  $H_{c2}^{(c)}$ .

Используем константы электрон-фононного взаимодействия, соответствующие  $\text{MgB}_2$ :  $\lambda_{11} = 0.302$ ;  $\lambda_{22} = 0.135$ ;  $\lambda_{12} = 0.04$ ;  $\lambda_{21} = 0.038$ , а также  $\lambda = \nu_1/\nu_2 = 0.8$  [9]. Полагаем также, что значение химического потенциала в  $\text{MgB}_2$  без допиривания составляет  $\mu_0 = 0.74$  эВ [11]. Для всех приведенных в работе рисунках выбран параметр  $\tilde{\varepsilon} = 0.31$ . Это значение дает наиболее близкие к экспериментальным результаты.

На рис. 1 мы представляем зависимость верхних критических полей  $H_{c2}^{(ab)}$ ,  $H_{c2}^{(c)}$  от температуры для случая чистого  $\text{MgB}_2$  (соответственно кривые 1 и 1') и случая допированной электронами системы  $\text{MgB}_2$  величины  $\tilde{H}_{c2}^{(ab)}$  и  $\tilde{H}_{c2}^{(c)}$  (соответственно кри-

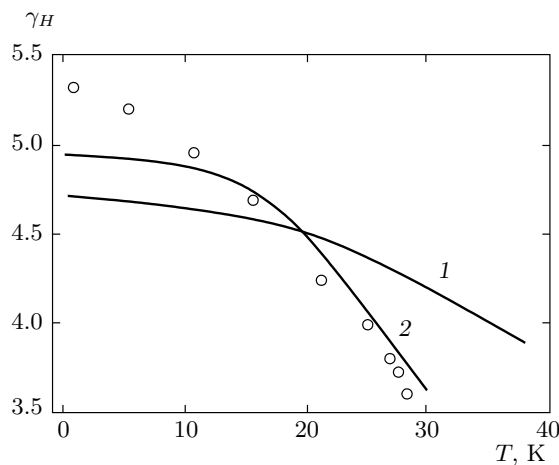


**Рис. 2.** Зависимости отношения критических температур допированного и чистого  $\text{MgB}_2$  (кривая 1), а также критических полей  $H_{c2}^{(ab)}$  (кривая 2) и  $H_{c2}^{(c)}$  (кривая 3) от химического потенциала  $\mu$ . Параметры те же, что и на рис. 1

вые 2 и 2'). Мы получаем  $H_{c2}^{(ab)} \gg H_{c2}^{(c)}$ . Этот результат хорошо согласуется как с результатами многих теоретических работ, так и с экспериментальными данными. Сильная анизотропия верхнего критического поля объясняется слабой дисперсией энергии электронов в направлении оси  $c$  и малым значением средней скорости электронов на поверхности Ферми в этом направлении. В случае замещения Mg и B другими химическими элементами, которые способствуют допированию электронами (увеличению химического потенциала), поведение верхнего критического поля как функции температуры (кривые 2 и 2') аналогично случаю чистого  $\text{MgB}_2$ . Однако значения этих величин уменьшаются по сравнению со случаем чистого  $\text{MgB}_2$ . Имеет место корреляция между температурой сверхпроводящего перехода  $T_c$  и величинами верхнего критического поля с ростом химического потенциала. Увеличение же дырочной проводимости не влияет на значения температуры сверхпроводящего перехода и верхнего критического поля.

На рис. 2 приведена зависимость отношения критических температур допированного и чистого  $\text{MgB}_2$  (1), а также критических полей от электронной плотности (химического потенциала  $\mu$ ). Получаем, что при  $\mu > 0.74$  эВ все величины убывают с ростом электронной плотности носителей заряда, оставаясь постоянными при  $\mu < 0.74$  эВ. Следовательно, дырочное допирование оставляет постоянными величины температуры сверхпроводящего перехода и верхнего критического поля.

На рис. 3 дана зависимость коэффициента анизотропии от температуры в чистом  $\text{MgB}_2$  ( $\mu_0 =$



**Рис. 3.** Зависимости коэффициента анизотропии от температуры для чистого MgB<sub>2</sub> ( $\mu_0 = 0.74$  эВ, кривая 1) и для допированного MgB<sub>2</sub> ( $\mu = 0.76$  эВ, кривая 2). Параметры те же, что и на рис. 1. Приведенные на рисунке кружки отвечают экспериментальным данным, взятым из работы [15]

= 0.74 эВ) и допированном MgB<sub>2</sub> ( $\mu = 0.76$  эВ). Приведенные на рисунке кружочки отвечают экспериментальным данным работы [15].

Полученные выше результаты неплохо согласуются с экспериментальными данными магнитных свойств интерметаллического соединения MgB<sub>2</sub> как чистого, так и допированного электронами и дырками, что говорит о способности рассмотренной выше двухзонной модели описывать свойства реальных материалов и способности вычислять аномалии физических свойств, порожденных анизотропией системы.

Отметим, что основным механизмом действия примеси замещения на систему в данной работе рассматривался эффект заполнения энергетических зон, полагалось, что рассеяние на примесном потенциале является слабым. Учет рассеяния электронов на примеси существенно усложняет результаты для систем, в которых примесное рассеяние является сильным.

## ЛИТЕРАТУРА

1. L. Nagamatsu, N. Nekagawa, T. Marenaka et al., *Nature* (London) **410**, 63 (2001).
2. В. А. Москаленко, Л. З. Кон, М. Е. Палистрант, *Низкотемпературные свойства металлов с особенностями зонного спектра*, Штиинца, Кишинев (1989).
3. V. A. Moskalenko, L. Z. Kon, and M. E. Palistrant, *Teoria Supraconductibilitatii Multibanda*, Editura Tehnica, Bucuresti (2008).
4. В. А. Москаленко, М. Е. Палистрант, В. М. Вака-люк, *УФН* **161**, 155 (1991).
5. H. L. Choi, D. Roundy, H. Sun et al., *Phys. Rev. B* **66**, 020513 (2002); *Nature* **418**, 758 (2002).
6. A. L. Liu, L. I. Mazin, and I. Kartus, *Phys. Rev. Lett.* **87**, 0877005 (2001).
7. В. А. Москаленко, *ФММ* **8**, 503 (1959).
8. H. Suhl, B. T. Matthias, and L. R. Walker, *Phys. Rev. Lett.* **3**, 552 (1959).
9. М. Е. Палистрант, В. А. Урсу, *ЖЭТФ* **131**, 59 (2007).
10. M. E. Palistrant and V. A. Ursu, *J. Supercond. Nov. Magn.* **21**, 171 (2008).
11. L. M. An and W. E. Pickett, *Phys. Rev. Lett.* **86**, 4366 (2001).
12. M. Angst, D. Di. Castro, and R. Puzniak, *Physica C* **385**, 143 (2003).
13. Yu. Eltsev, K. Nakao, S. Lee et al., *Physica C* **378**, 61 (2002).
14. M. Angst, R. Puzniak, A. Wisniewski et al., *Phys. Rev. Lett.* **88**, 167004 (2002).
15. M. Angst, S. L. Bud'ko, R. H. T. Wilke, and P. C. Canfield, *Phys. Rev. B* **71**, 144512 (2005).
16. Л. П. Горьков, *ЖЭТФ* **37**, 833 (1959).
17. K. Maki and T. Tsuzuki, *Phys. Rev. A* **139**, 868 (1965).
18. М. Е. Палистрант, В. И. Дедю, в сб.: *Исследования по квантовой теории систем многих частиц*, РИО Академия наук МССР, Кишинев (1969).
19. T. Dahm and N. Schopohl, *Phys. Rev. Lett.* **91**, 017001 (2003).
20. P. Miranovic, K. Machida, and V. G. Kogan, *J. Phys. Soc. Jpn.* **72**, 221 (2003).
21. C. T. Rieck, R. Scharnberg, and N. Schopohl, *J. Low Temp. Phys.* **84**, 981 (1991).
22. В. А. Москаленко, *ЖЭТФ* **51**, 1163 (1966).
23. M. E. Palistrant, I. D. Cebotari, and V. A. Ursu, *Moldavian J. Phys. Sci.* **7**, № 3 (2008).
24. M. E. Palistrant and F. G. Kochorbe, *Physica C (Amsterdam)* **194**, 351 (1992); *ФНТ* **26**, 1077 (2000).
25. V. A. Loktev, R. M. Quick, and S. G. Sharapov, *Phys. Rep.* **349**, 1 (2001).
26. В. А. Москаленко, М. Е. Палистрант, В. А. Урсу, *ТМФ* **154**, 113 (2008).